

10. Аввакумов А. М., Чучкалов И. А. Фазовые соотношения при вибрационном распространении пламени // Вибрационное горение.— Казань: КГУ, 1977.— С. 3—22.
11. Фурлотов В. И., Скляров В. А. Частотные характеристики ламинарного пламени // ПМТФ.— 1974.— № 1.— С. 84—94.
12. Аввакумов А. М., Чучкалов И. А., Щелоков Я. М. Нестационарное горение в энергетических установках.— Л.: Недра, 1987.
13. Асланов С. К. Возбуждение акустических колебаний при распространении горения смеси в трубе // Физика аэродисперсных систем.— Киев: Вища шк., 1982.— Вып. 21.— С. 90—94.
14. Асланов С. К. Развитие акустических колебаний при распространении пламени по трубе в условиях волнообразования на его фронте // Там же.— 1985.— Вып. 27.— С. 64—69.
15. Щелкни К. И., Трошин Я. К. Газодинамика горения.— М.: Изд-во АН СССР, 1963.
16. Щетников Е. С. Физика горения газов.— М.: Наука, 1965.
17. Асланов С. К. Одномерная устойчивость нормального горения газов // ИФЖ.— 1968.— 15, № 2.— С. 298—301.
18. Асланов С. К., Конопов А. В. Одномерная устойчивость процесса горения в магнитном поле // Магнитная гидродинамика.— 1983.— № 1.— С. 82—84.
19. Асланов С. К. Критерий неустойчивости медленного горения газовых смесей // ФГВ.— 1965.— 1, № 3.— С. 75—82.
20. Аввакумов А. М., Чучкалов И. А. Исследование фазовых соотношений при вибрационном горении в закрытых трубах // Физика горения и методы ее исследования.— Чебоксары: ЧГУ, 1977.— Вып. 7.— С. 23—27.
21. Максимов Н. П., Михеев М. П. Исследование изменения частоты и амплитуды звуковых колебаний при вибрационном распространении пламени // Там же.— 1971.— Вып. 1.— С. 34—49.

г. Одесса

Поступила в редакцию 21/III 1991

УДК 546

*М. Б. Исмаилов, С. М. Фоменко*

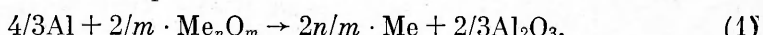
## О НЕКОТОРЫХ ОСОБЕННОСТЯХ ГОРЕНИЯ АЛЮМИНОТЕРМИЧЕСКИХ СИСТЕМ

В широком интервале соотношения компонентов и в условиях предварительного подогрева исследованы температура и скорость горения в системе Al—Cr<sub>2</sub>O<sub>3</sub>. Определены условия образования интерметаллидов AlCr<sub>2</sub> и Al<sub>2</sub>Cr. Максимальная скорость горения обнаружена у составов со значительным избытком алюминия. Сделано предположение о стадийном характере этого процесса. Скорость распространения волны горения определяется начальными стадиями окисления алюминия до Al<sub>2</sub>O<sub>3</sub>. Аналогичные закономерности наблюдаются при горении алюминия с SiO<sub>2</sub> и NiO.

Алюминотермические процессы давно известны и широко используются в различных отраслях промышленности в ряде важнейших технологий. Например, в металлургии — это алюминотермическое производство технически чистых металлов, ферросплавов и лигатур [1]. Алюминиевый порошок в смеси с различными окислителями широко применяется в термитах и пиротехнике в целом [2], а также в ряде СВС-технологий получения неорганических материалов [3]. Эти процессы отличаются высокой экзотермичностью и, как правило, осуществляются в режиме горения, следовательно весьма актуальны вопросы, связанные с изучением волновых процессов в таких системах.

Большое место в работах по алюминотермии посвящено закономерностям образования конечного продукта и характеру тепловыделения [4, 5]. Что касается скоростей горения, то обычно приводятся экспериментальные значения, но мало данных, относящихся к процессам, которые их определяют. Между тем, знание основных закономерностей скорости горения чрезвычайно важно, так как они определяют параметры воспламенения, режимы и пределы горения.

Современные представления теории скоростей безгазового горения обычно используют допущение об одностадийности химической реакции. В алюминотермическом горении — это



Материал	Марка	ГОСТ или ТУ	$\delta$ , мкм	$\eta$ , %
Алюминиевый порошок	АСД-1	ТУ 48-5-230-82	10—15	98
	ПАВЧ 20/30	ТУ 48-5-172-77	20—30	99,9
	ПАВЧ 30/50	ТУ 48-6-172-77	30—50	99,9
	ПА-4	ГОСТ 6058	80—120	98
	АПВ	ТУ 48-5-152-78	150—250	92
Оксид хрома	(III) Ч.Д.А.	ТУ 6-09-4272-84	<12,5	99
Кремния двуокись	Ч.	ГОСТ 9428-73	40—60	96

П р и м е ч а н и е .  $\delta$  — дисперсность,  $\eta$  — массовое содержание основного компонента.

Используется также простейшая модель горения со слабым торможением скорости тепловыделения от глубины реакции, дающая однозначную зависимость скорости горения  $u$  от температуры  $T_g$  [5]

$$u^2 \sim e^{-E/2RT_g}, \quad (2)$$

где  $E$  — диффузионная энергия активации. Зависимость (2) использовалась для определения эффективных энергий активации горения металлотермических систем:  $\text{Cr}_2\text{O}_3 + \text{Al}$ ,  $\text{Fe}_2\text{O}_3 + \text{Al}$ ,  $\text{Fe}_2\text{O}_3 + \text{Ti}$ ,  $\text{Cr}_2\text{O}_3 + \text{Zr}$  [6]. Полученные таким образом энергии активации можно применять при расчете границ устойчивого горения, что имеет большое практическое значение.

Детальное изучение некоторых натрийтермических реакций [7], а также классической системы  $\text{Fe}_2\text{O}_3 + \text{Al}$  [8] показало, что процессы, определяющие значение  $u$ , не укладываются в приведенные выше допущения относительно одностадийности химической реакции и однозначной зависимости  $u(T_g)$ . Показано, что между ними такой зависимости не существует. Металлотермическая реакция — многостадийная, скорость горения определяется быстрыми реакциями начальных стадий.

С целью дальнейшего изучения такого класса процессов в настоящей работе проведены эксперименты с системой  $\text{Cr}_2\text{O}_3 + \text{Al}$  при различных соотношениях реагентов. Для увеличения концентрационных пределов горения исходные образцы подогревались до температуры 1000 К. Проведены термопарное измерение  $T_g$ , регистрация температурного профиля волны горения и значений  $u$ , рентгенофазовый анализ продуктов горения (характеристики используемых реагентов см. в таблице).

В экспериментах исследовались цилиндрические образцы диаметром 2 см и высотой 4,5—5,0 мм, спрессованных под давлением 10 МПа. Шихта перед прессованием увлажнялась водой в количестве 10 %. Образцы, высушенные в сушильном шкафу при температуре 363 К, помещали в печь с температурой 973 К. После выравнивания температур образца и печи (обычно около 10 мин) инициировали горение таблеткой железоалюминиевого термита.

Начальную температуру и температуру горения измеряли термопарой ВР5—ВР20 толщиной 100 мкм, впрессованной в образец. Температурный профиль волны горения регистрировался на осциллографе Н-071.5 с помощью термопары ВР5—ВР20 толщиной 20 мкм.

При молярном соотношении реагентов  $0,8 \geq [Al]/[\text{Cr}_2\text{O}_3] \geq 14$  образцы не поддаются воспламенению. В диапазоне соотношений  $[Al]/[\text{Cr}_2\text{O}_3] = 0,8 \div 1,2$  и  $10 \div 14$  имеет место пульсирующее горение. Зависимость скорости горения хромоалюминиевого термита от крупности порошка Al представлена на рис. 1. Видно, что влияние дисперсности Al на величину  $u$  при  $\delta < 50$  мкм весьма незначительно. Это позволяет говорить о кинетическом механизме взаимодействия.

В дальнейших исследованиях применялся алюминиевый порошок марки АСД-1. На кривой  $T_g$  (рис. 2) имеются три ярко выраженных максимума при  $n = 2, 4$  и  $6$ . Иными словами, зависимость  $T_g(n)$  можно

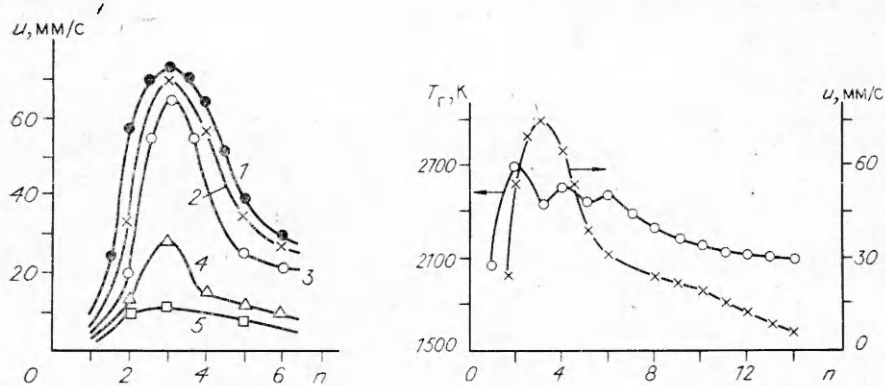


Рис. 1. Зависимость скорости горения от дисперсности алюминия и мольного соотношения в системе  $\text{Cr}_2\text{O}_3 + n\text{Al}$ .  
 1 — АСД-1; 2 — ПАВЧ 20/30; 3 — ПАВЧ 30/50;  
 4 — ПА-4; 5 — АПВ.

Рис. 2. Зависимости  $T_r(n)$  и  $u(n)$  в сплавах  $\text{Cr}_2\text{O}_3 + n\text{Al}$ .

условно разбить на три характерных интервала, для которых по данным рентгенофазового анализа охлажденных образцов можно записать следующие брутто-реакции:

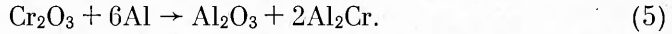
1)  $[\text{Al}]/[\text{Cr}_2\text{O}_3] = 0,8 \div 2,75$ ; состав продуктов:  $\text{Al}_2\text{O}_3$ ,  $\text{Cr}$ ,  $\text{Cr}_2\text{O}_3$ ; брутто-реакция



2)  $[\text{Al}]/[\text{Cr}_2\text{O}_3] = 2,75 \div 4,75$ ; состав продуктов:  $\text{Al}_2\text{O}_3$ ,  $\text{AlCr}_2$ ,  $\text{Al}_2\text{Cr}$ ; брутто-реакция



3)  $[\text{Al}]/[\text{Cr}_2\text{O}_3] = 4,75 \div 14$ ; состав продуктов:  $\text{Al}_2\text{O}_3$ ,  $\text{Al}_2\text{Cr}$ ; брутто-реакция



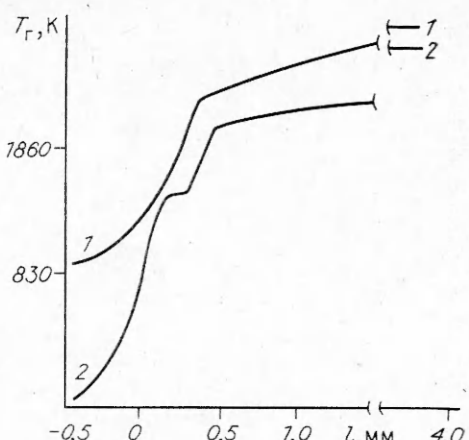
По интервалам в допущении протекания одностадийных реакций (3) — (5) и полного превращения одного из исходных компонентов проведен термодинамический расчет адиабатических температур горения (см. рис. 2). Характер расчетной кривой достаточно точно повторяет экспериментальную, что подтверждает протекание указанных реакций.

Полученные закономерности, по-видимому, отражают факт существования концентрационных пределов протекания экзотермических реакций (4), (5) образования интерметаллидов  $\text{Al}_2\text{Cr}$  и  $\text{AlCr}_2$ . Эти эффекты чрезвычайно интересны и безусловно требуют дальнейшего изучения.

Перейдем к анализу кривой скорости горения. Максимальное значение  $u$  соответствует  $n = 3$ , что никак не согласуется с положениями пиков на кривой  $T_r(n)$ . Таким образом, для системы  $\text{Cr}_2\text{O}_3 + \text{Al}$ , горящей в кинетическом режиме, нет однозначной зависимости между  $T_r$  и  $u$ . На это несоответствие могут оказывать влияние несколько факторов. Так, при сильном торможении скорости тепловыделения от глубины реакции или сильных эндоэффектах при плавлении промежуточных продуктов тепловая структура волны горения усложняется и скорость горения определяется уже не величиной  $T_r$ , а температурой максимума скорости тепловыделения  $T_*$  или температурой плавления продуктов горения  $T_{\text{пл}}$  [9].

Ранее показано, что в данном случае имеет место слабое торможение скорости тепловыделения (поскольку горение происходит в кинетическом режиме). С другой стороны, значение  $T_{\text{пл}}$  не может оказывать существенного влияния на скорость распространения волны горения, так как на температурном профиле, полученном экспериментально (рис. 3),  $T_* \ll T_{\text{пл}}$  (для  $\text{Cr}$ ,  $\text{Al}_2\text{O}_3$  и  $\text{Cr}_2\text{O}_3$   $T_{\text{пл}} = 2173$ ,  $2300$  и  $2540$  К соответственно). Таким образом, влияние этих факторов на формирова-

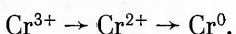
Рис. 3. Температурный профиль волны горения в системах  $\text{Cr}_2\text{O}_3 + 2\text{Al}$  (1) и  $\text{NiO} + \text{Al}$  (2) (по данным работы [12]).



ние сложной структуры волны горения не может быть решающим. Отсюда можно предположить существование других причин, определяющих такой характер горения.

Ранее обсуждалась роль химической многостадийности на формирование аналогичной рис. 3 структуры волны горения на примере натрийтермии [7] и алюминотермии [8]. Конкретно, для термита  $\text{Fe}_2\text{O}_3 + \text{Al}$  показано, что скорость горения определяется реакцией окисления алюминия до иона  $\text{Al}^{2+}$ , дальнейшие реакции  $\text{Al}^{2+} \rightarrow \text{Al}^{3+}$  образуют зону догорания и существенного влияния на скорость горения не оказывают. Похожий характер зависимостей  $T_r(z)$  в системе  $\text{Cr}_2\text{O}_3 + \text{Al}$  позволяет предположить такой же многостадийный механизм, который подчиняется следующим общим принципам:

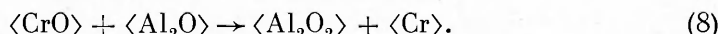
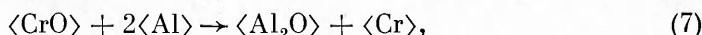
восстановление хрома идет стадийно по схеме



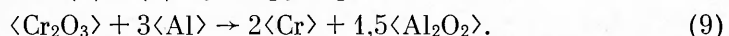
окисление алюминия также происходит стадийно:



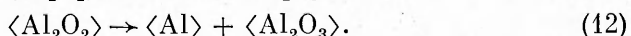
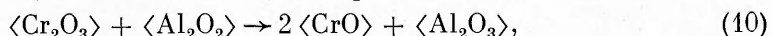
Если обозначить химическую формулу элемента кристаллической решетки частицы  $\text{Cr}_2\text{O}_3$  в виде  $\langle \text{Cr}_2\text{O}_3 \rangle$ , то элементарные стадии изучаемой окислительно-восстановительной реакции можно записать так:



Элементарные стадии (6) — (8) суммирует реакция



Если предположить, что реакции (6) — (8) быстрее, то именно они определяют скорость распространения волны горения, так как, во-первых, температурный профиль, полученный экспериментальным путем (см. рис. 3), указывает на наличие в волне горения как быстрых реакций, так и медленных реакций догорания, во-вторых, реакция (9) имеет максимальную скорость при стехиометрическом соотношении реагентов, т. е. при  $n = 3$ . Это значение абсолютно точно объясняет экспериментальный максимум и на рис. 2. В-третьих,  $\text{Al}_2\text{O}$  является низшим, наименее устойчивым оксидом алюминия, поэтому естественно, что с его участием заканчиваются стадии быстрых реакций с образованием сравнительно устойчивого  $\text{Al}_2\text{O}_2$ . За быстрыми реакциями (6) — (8) идут стадии догорания, имеющие меньшую скорость:



Данные экспериментов показывают, что хромоалюминиевый терmit горит по более сложному механизму, а формирование конечного продукта происходит путем прохождения нескольких последовательных превращений. Участие низших оксидов алюминия в алюминотермиче-

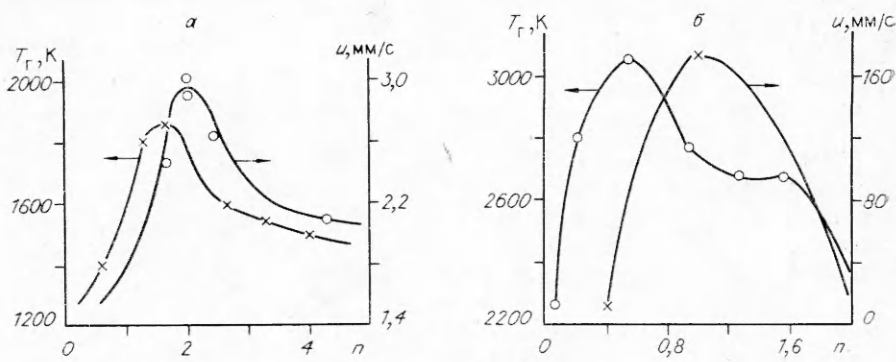
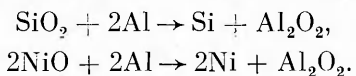


Рис. 4. Зависимости  $T_r(n)$  и  $u(n)$  в системах  $\text{SiO}_2 + n\text{Al}$  (а) и  $\text{NiO} + n\text{Al}$  (б).

ском горении обнаружено в [13] при изучении горения молибденалюминиевого термита. Избыточное содержание Al приводит реакцию к взрывному режиму с образованием нитевидных кристаллов субоксидов, которые доокисляются затем до  $\text{Al}_2\text{O}_3$ .

Представляют интерес аналогичные исследования для некоторых других алюминотермических систем. На рис. 4 приведены характеристики горения по данным работы [12]. Судя по характеру кривых  $T_r$  и  $u$ , а также по форме температурного профиля волны горения (см. рис. 3) горение приведенных систем аналогично закономерностям для состава  $\text{Cr}_2\text{O}_3 + \text{Al}$ . Максимум  $T_r$  соответствует стехиометрии реакции (1), тогда как максимум  $u$  отвечает реакциям образования  $\text{Al}^{2+}$ :



Таким образом, не выполняется допущение об однозначной зависимости скорости и температуры горения, а получаемые из их соотношения значения энергий активации [6] характеризуют брутто-реакцию (1). Вопрос об энергии активации принципиален, так как от ее величины зависят расчетные характеристики воспламенения [10], пределов и режимов горения [11]. Для корректного определения энергии активации ведущей стадии горения, определяемой завершением реакции окисления алюминия до субоксида  $\text{Al}_2\text{O}_2$ , необходимо опираться на температуру максимума тепловыделения  $T_{\ddagger}$ . Она хорошо фиксируется термопарой, как точка излома на температурном профиле волны горения.

#### ЛИТЕРАТУРА

- Лякишев П. П., Плиннер Ю. Л., Игнатенко Г. Ф. и др. Алюминотермия.— М.: Металлургия, 1978.
- Шидловский А. А. Основы пиротехники.— М.: Машиностроение, 1973.
- Мержанов А. Г., Каширенин О. Е. Самораспространяющийся высокотемпературный синтез: состояние и перспективы.— М.: ВНТИЦентр, 1987.
- Самсонов Г. В., Подергин В. А. // Металлотермические процессы в химии и металлургии.— Новосибирск: Наука, 1971.— С. 5—25.
- Бахман И. Н., Беляев А. Ф. Горение гетерогенных конденсированных систем.— М.: Наука, 1967.
- Дворянин А. В., Струнина А. Г., Мержанов А. Г. Устойчивость горения термитных систем // ФГВ.— 1985.— 21, № 4.— С. 44—47.
- Исмаилов М. Б., Леонов А. И. Исследование стадийности взаимодействия патрия с оксидами железа в волне горения // Там же.— 1990.— 26, № 3.— С. 17—21.
- Ismailov M. B., Leonov A. N. On stages of Aluminothermal process. III Int. Seminar on Flame Structure.— Alma-Ata, 1989.
- Хайкин Б. И. // Процессы горения в химической технологии и металлургии.— Черноголовка, 1975.— С. 227.
- Струнина А. Г., Мартемьянова Т. М., Барзыкин В. В. и др. Зажигание безгазовых систем волной горения // ФГВ.— 1974.— 10, № 4.
- Шкадинский К. Г., Хайкин Б. И., Мержанов А. Г. Распространение пульсирующего фронта экзотермической реакции в конденсированной фазе // Там же.— 1971.— 7, № 1.

12. Филатов В. М., Найбординко Ю. С. // Горение конденсированных систем.— Черноголовка: ИХФ АН СССР, 1989.— С. 37—40.  
 13. Подергин В. А., Куликов В. А., Корчагин М. А. и др. // Теория и технология металлотермических процессов.— Новосибирск: Наука, 1974.— С. 137—144.

г. Алма-Ата

Поступила в редакцию 5/V 1991

УДК 546

Б. Е. Никольский, Н. Л. Патратий, Ю. В. Фролов

## О ГОРЕНИИ БОРСОДЕРЖАЩИХ КОНДЕНСИРОВАННЫХ СИСТЕМ

Проведены экспериментальные исследования закономерностей распространения фронта экзотермической реакции при горении смесей бора с кислородсодержащими окислителями в зависимости от свойств порошков бора. Показано, что скорость горения борсодержащих гетерогенных конденсированных систем на основе окислителей нитрат натрия, перхлорат аммония пропорциональна удельной поверхности бора в составе и является линейной функцией поверхности частиц бора, доступной для прямого контакта с окислителем.

При горении гетерогенных конденсированных систем на основе бора отмечается стабильность воспламенения и горения составов, а также относительно высокая скорость распространения фронта пламени при использовании высокодисперсных порошков бора. Однако механизм горения таких композиций сложен и слабо изучен [1, 2].

Цель настоящей работы — изучение закономерностей распространения фронта экзотермической реакции при горении смесей бора с кислородсодержащим окислителем в зависимости от свойств порошков бора.

В экспериментах исследовали горение порошков бора аморфного ( $B_a$ ) различной дисперсности и поликристаллического ( $B_k$ ) с окислителем — нитратом натрия (НН) или стехиометрической смесью перхлората аммония (ПХА) с полиметилметакрилатом (ПММА). Удельная поверхность  $S$  и плотность исходных компонентов  $\rho$  приведены в табл. 1.

Образцы формовались методом глухого прессования при давлении 200 МПа и для обеспечения режима торцевого горения бронировались по боковой поверхности. Сжигание проводили в приборе постоянного давления в атмосфере азота при  $p = 10 \div 100$  МПа.

Результаты экспериментов представлены на рис. 1. Определить зависимость скорости горения от какого-либо параметра в явном виде весьма сложно. Кроме того, поскольку образцы содержат порошки бора, отличающиеся по характеристикам и по концентрации, то плотность (коэффициент уплотнения образцов  $K_y$ ) также переменна.

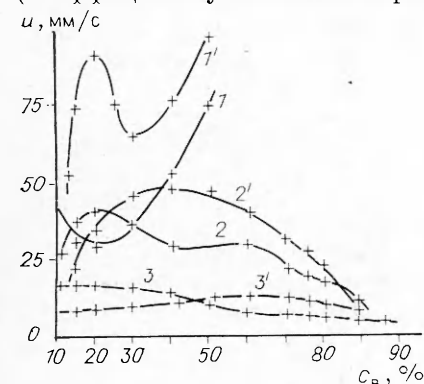


Рис. 1. Зависимость скорости горения от концентрации и удельной поверхности бора.

Окислитель: 1—3 — ПХА + ПММА, 1'—3' — НН;  $S_A$ ,  $\text{м}^2/\text{г}$ : 1, 1' — 15, 2, 2' — 5,8, 3, 3' — 0,8,  $p = 40$  МПа.

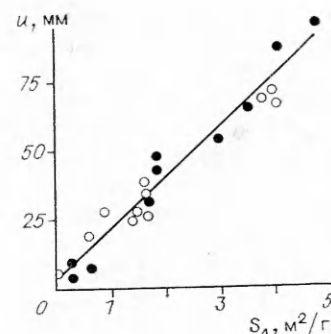


Рис. 2. Зависимость скорости горения борсодержащих составов от удельной поверхности окисления бора при использовании в качестве окислителя НН (темные точки) и ПХА + ПММА (светлые);  $p = 40$  МПа.